

МИНОБРАЗОВАНИЯ РОССИИ ФЕДЕРАЛЬНОЕ ГОСУДАРСТВЕННОЕ  
АВТОНОМНОЕ ОБРАЗОВАТЕЛЬНОЕ УЧРЕЖДЕНИЕ ВЫСШЕГО  
ОБРАЗОВАНИЯ «САМАРСКИЙ НАЦИОНАЛЬНЫЙ  
ИССЛЕДОВАТЕЛЬСКИЙ УНИВЕРСИТЕТ ИМЕНИ АКАДЕМИКА  
С.П.КОРОЛЕВА»

Институт информатики, математики и электроники

Дисциплина: «Надежность и качество ПО»

Отчёт по лабораторным работам № 1-5

«Определение свойств случайного графа структуры ПО. Оценка числа  
вариантов на отладку ПО по модели структуры ПО»

Вариант № 5Б

Выполнил:

студент группы 6411-100503D

Ковалев К.А

Проверил:

Мостовой Я.А.

Самара, 2019

**Цель работы:** рассмотреть структуру ПО, определить параметр структуры, позволяющий оценить качество структуры с точки зрения трудоёмкости отладки - числа вариантов, необходимых для отладки ПО. Создать обобщенную статистическую модель структуры ПО в виде случайного дерева, разработать соответствующую программу и показать статистическую устойчивость структурного параметра, определяющего число вариантов отладки ПО.

**Работа 1.** Анализ предметной области, синтез модели структуры программы (схема программы).

Структуру работы ПО можно представить в виде графа-дерева. В каждую вершину дерева входит только одно ребро (за исключением корневого). Число ребер такого графа на единицу меньше числа вершин. Эта особенность - однозначная связь между числом узлов и числом ребер отличает деревья от других графов. Число маршрутов в дереве равно числу висячих узлов. Число путей исполнения при отладке ПО должно быть равно числу висячих узлов.

Рассмотрим дерево, в котором всего узлов  $P$ , а висячих узлов  $B$ ,  $m_i$  – число ребер, входящих и выходящих из  $i$ -го узла.

$$\sum_{i=1}^P m_i = 2(P - 1)$$

Для “регулярного” дерева, для которого  $m = \text{const}$  (кроме корневого и висячих узлов)

$$\alpha = \frac{P}{B} = \frac{m - 1}{m - 2} - \frac{1}{(m - 2)B}$$

Для больших деревьев  $B$  достаточно велико, следовательно:

$$\alpha \approx \frac{m - 1}{m - 2}$$

В реальном ПО  $m_i \neq \text{const}$  и  $\alpha$  скорее всего величина случайная, но возможны средние оценки, которые могут определить трудозатраты при отладке. Случайный граф, в котором число ребер, исходящих из каждого узла случайно, более адекватная модель ПО.

При росте числа узлов в графе параметр  $\alpha$  стремится к постоянной величине и является характеристикой структуры графа, важной для отладки ПО. Экспериментально можно показать, что и для случайного графа - дерева

параметр  $\alpha$  для большого числа узлов стремится к постоянной величине, имеющей небольшой случайный разброс.

**Работа 2.** Построить случайный граф ПО, для которого число выходящих из вершины ребер определяется датчиком случайных чисел. Определить значение структурного параметра  $\alpha$  = число всех узлов/число висячих узлов. Привести гистограмму для полученных при построении графа значений ( $m-1$ ). Убедится в правильности построения гистограммы.

$m=5$ ,  $N = 200$ , правило остановки построения графа Б.

Результат работы программы:

$\alpha = 1,66$

Кол-во вершин = 306

Кол-во висячих вершин = 184

Высота дерева = 7

**Таблица всех вершин**

1 уровень	[(1, 0)]
2 уровень	[(2-1), (3-1), (4-1), (5-1)]
3 уровень	[(6-2), (7-2), (8-2), (9-2), (10-3), (11-3), (12-3), (13-3), (14-4)]
4 уровень	[(15-6), (16-7), (17-7), (18-8), (19-8), (20-8), (21-10), (22-10), (23-10), (24-10), (25-11), (26-11), (27-12), (28-13), (29-13), (30-13), (31-13), (32-14)]
5 уровень	[(33-16), (34-17), (35-17), (36-17), (37-18), (38-18), (39-18), (40-19), (41-19), (42-21), (43-21), (44-21), (45-22), (46-22), (47-22), (48-22), (49-23), (50-23), (51-23), (52-23), (53-24), (54-24), (55-25), (56-25), (57-26), (58-27), (59-28), (60-28), (61-28), (62-28), (63-30), (64-30), (65-30), (66-30), (67-32), (68-32), (69-32), (70-32)]
6 уровень	[(71-34), (72-35), (73-35), (74-35), (75-35), (76-36), (77-36), (78-36), (79-37), (80-40), (81-40), (82-40), (83-40), (84-41), (85-41), (86-42), (87-42), (88-42), (89-42), (90-43), (91-43), (92-45), (93-46), (94-46), (95-47), (96-47), (97-48), (98-48), (99-48), (100-48), (101-49), (102-49), (103-49), (104-50), (105-50), (106-51), (107-51), (108-51), (109-52), (110-53), (111-54), (112-55), (113-56), (114-56), (115-56), (116-57), (117-57), (118-57), (119-58), (120-58), (121-58), (122-59), (123-60), (124-60), (125-60), (126-60), (127-61), (128-61), (129-61), (130-62), (131-62), (132-63), (133-63), (134-63), (135-63), (136-64), (137-65), (138-65), (139-65), (140-67), (141-67), (142-67), (143-67), (144-69), (145-70), (146-70)]
7 уровень	[(147-72), (148-73), (149-74), (150-76), (151-76), (152-76), (153-76), (154-77), (155-78), (156-78), (157-78), (158-79), (159-79), (160-80), (161-81), (162-82), (163-82), (164-82), (165-82), (166-83), (167-83), (168-83), (169-

	83), (170-84), (171-84), (172-85), (173-85), (174-86), (175-86), (176-87), (177-87), (178-88), (179-89), (180-89), (181-90), (182-90), (183-90), (184- 91), (185-91), (186-92), (187-92), (188-92), (189-92), (190-93), (191-93), (192-93), (193-93), (194-94), (195-94), (196-95), (197-95), (198-95), (199- 96), (200-96), (201-97), (202-97), (203-97), (204-98), (205-98), (206-98), (207-98), (208-100), (209-100), (210-100), (211-102), (212-102), (213-104), (214-105), (215-105), (216-106), (217-107), (218-108), (219-108), (220- 108), (221-109), (222-109), (223-109), (224-110), (225-110), (226-111), (227-112), (228-112), (229-112), (230-112), (231-113), (232-113), (233- 113), (234-113), (235-114), (236-114), (237-114), (238-114), (239-115), (240-115), (241-115), (242-115), (243-116), (244-116), (245-116), (246- 116), (247-117), (248-117), (249-117), (250-118), (251-118), (252-118), (253-119), (254-119), (255-120), (256-120), (257-121), (258-121), (259- 124), (260-124), (261-124), (262-124), (263-127), (264-127), (265-127), (266-127), (267-128), (268-128), (269-129), (270-129), (271-129), (272- 130), (273-130), (274-131), (275-132), (276-132), (277-133), (278-133), (279-133), (280-133), (281-134), (282-134), (283-134), (284-134), (285- 135), (286-135), (287-135), (288-135), (289-137), (290-137), (291-137), (292-137), (293-138), (294-138), (295-138), (296-138), (297-139), (298- 139), (299-140), (300-140), (301-140), (302-142), (303-143), (304-145), (305-146), (306-146)]
--	--

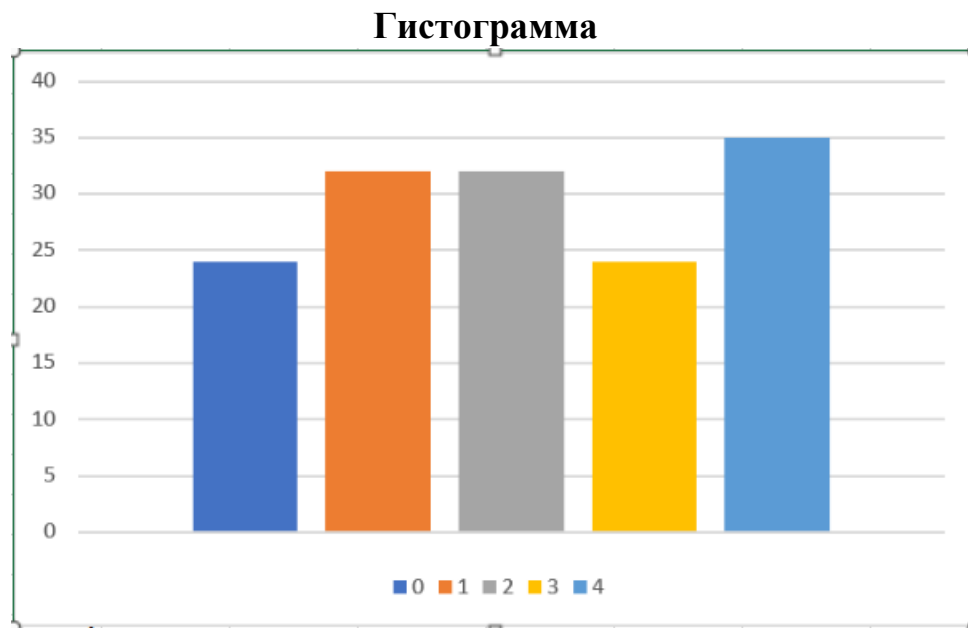
### Таблица всячих вершин

[(5-1), (9-2), (15-6), (20-8), (29-13), (31-13), (33-16), (38-18), (39-18), (44-21), (66-30), (68- 32), (71-34), (75-35), (99-48), (101-49), (103-49), (122-59), (123-60), (125-60), (126-60), (136- 64), (141-67), (144-69), (147-72), (148-73), (149-74), (150-76), (151-76), (152-76), (153-76), (154-77), (155-78), (156-78), (157-78), (158-79), (159-79), (160-80), (161-81), (162-82), (163- 82), (164-82), (165-82), (166-83), (167-83), (168-83), (169-83), (170-84), (171-84), (172-85), (173-85), (174-86), (175-86), (176-87), (177-87), (178-88), (179-89), (180-89), (181-90), (182- 90), (183-90), (184-91), (185-91), (186-92), (187-92), (188-92), (189-92), (190-93), (191-93), (192-93), (193-93), (194-94), (195-94), (196-95), (197-95), (198-95), (199-96), (200-96), (201- 97), (202-97), (203-97), (204-98), (205-98), (206-98), (207-98), (208-100), (209-100), (210- 100), (211-102), (212-102), (213-104), (214-105), (215-105), (216-106), (217-107), (218-108), (219-108), (220-108), (221-109), (222-109), (223-109), (224-110), (225-110), (226-111), (227- 112), (228-112), (229-112), (230-112), (231-113), (232-113), (233-113), (234-113), (235-114), (236-114), (237-114), (238-114), (239-115), (240-115), (241-115), (242-115), (243-116), (244- 116), (245-116), (246-116), (247-117), (248-117), (249-117), (250-118), (251-118), (252-118), (253-119), (254-119), (255-120), (256-120), (257-121), (258-121), (259-124), (260-124), (261- 124), (262-124), (263-127), (264-127), (265-127), (266-127), (267-128), (268-128), (269-129),
---

(270-129), (271-129), (272-130), (273-130), (274-131), (275-132), (276-132), (277-133), (278-133), (279-133), (280-133), (281-134), (282-134), (283-134), (284-134), (285-135), (286-135), (287-135), (288-135), (289-137), (290-137), (291-137), (292-137), (293-138), (294-138), (295-138), (296-138), (297-139), (298-139), (299-140), (300-140), (301-140), (302-142), (303-143), (304-145), (305-146), (306-146)]

Данные для гистограммы:

[0] = 24, [1] = 32, [2] = 32, [3] = 24, [4] = 35;



$$M[\alpha] = \frac{24 \cdot 0 + 32 \cdot 1 + 32 \cdot 2 + 24 \cdot 3 + 35 \cdot 4}{24 + 32 + 32 + 24 + 35} = \frac{308}{147} = 2.09$$

$$M_{\text{теор}}[m] = \frac{5 - 1}{2} = 2$$

Практическое мат. ожидание величины m-1 : 2,09

Теоретическое мат. ожидание величины m-1: 2

*Утверждение: Математическое ожидание попадает в допустимый интервал теоретического значения. Если совпадения нет, пользователю выдается ошибка несовпадения с интервалом:*

```
if ((Mat>2,2) || (Mat<1,8))
    System.out.println("Мат ожидание выходит за допустимые пределы");
```

**Работа 3.** Этим же алгоритмом построить детерминированный граф ПО при фиксированном значении числа выходящих из узлов ребер ( $m_{\text{фикс}} - 1 = (m-1)$ ). Это можно сделать, заглушая обращение к датчику случайных чисел, и для каждого узла использовать заданную константу при определении числа исходящих ребер. Определить число висячих узлов и параметра  $\alpha$ . Убедится в правильности расчета структурного параметра  $\alpha$ . В тексте программы и в отчете привести «утверждение».

Теоретический расчет:

$$\alpha = \frac{m-1}{m-2} = \frac{4}{3} = 1.33$$

Результат работы программы:

Альфа = 1.33

Число вершин = 341

Число висячих вершин = 256

Высота дерева = 5

**Таблица всех вершин**

1 уровень	[(1, 0)]
2 уровень	[(2-1), (3-1), (4-1), (5-1)]
3 уровень	[(6-2), (7-2), (8-2), (9-2), (10-3), (11-3), (12-3), (13-3), (14-4), (15-4), (16-4), (17-4), (18-5), (19-5), (20-5), (21-5)]
4 уровень	[(22-6), (23-6), (24-6), (25-6), (26-7), (27-7), (28-7), (29-7), (30-8), (31-8), (32-8), (33-8), (34-9), (35-9), (36-9), (37-9), (38-10), (39-10), (40-10), (41-10), (42-11), (43-11), (44-11), (45-11), (46-12), (47-12), (48-12), (49-12), (50-13), (51-13), (52-13), (53-13), (54-14), (55-14), (56-14), (57-14), (58-15), (59-15), (60-15), (61-15), (62-16), (63-16), (64-16), (65-16), (66-17), (67-17), (68-17), (69-17), (70-18), (71-18), (72-18), (73-18), (74-19), (75-19), (76-19), (77-19), (78-20), (79-20), (80-20), (81-20), (82-21), (83-21), (84-21), (85-21)]
5 уровень	[(86-22), (87-22), (88-22), (89-22), (90-23), (91-23), (92-23), (93-23), (94-24), (95-24), (96-24), (97-24), (98-25), (99-25), (100-25), (101-25), (102-26), (103-26), (104-26), (105-26), (106-27), (107-27), (108-27), (109-27), (110-28), (111-28), (112-28), (113-28), (114-29), (115-29), (116-29), (117-29), (118-30), (119-30), (120-30), (121-30), (122-31), (123-31), (124-31), (125-31), (126-32), (127-32), (128-32), (129-32), (130-33), (131-33), (132-33), (133-33), (134-34), (135-34), (136-34), (137-34), (138-35), (139-35), (140-35), (141-35), (142-36), (143-36), (144-36), (145-36), (146-37), (147-37), (148-37), (149-37), (150-38), (151-38), (152-38), (153-38), (154-39), (155-39), (156-39), (157-39), (158-40), (159-40), (160-40), (161-40), (162-41), (163-41), (164-41), (165-41), (166-42), (167-42), (168-42), (169-42), (170-43), (171-43), (172-43), (173-43), (174-44), (175-44), (176-44), (177-44), (178-45), (179-45), (180-45), (181-45), (182-46), (183-46), (184-46), (185-46), (186-47), (187-47), (188-47), (189-47), (190-48), (191-

	48), (192-48), (193-48), (194-49), (195-49), (196-49), (197-49), (198-50), (199-50), (200-50), (201-50), (202-51), (203-51), (204-51), (205-51), (206-52), (207-52), (208-52), (209-52), (210-53), (211-53), (212-53), (213-53), (214-54), (215-54), (216-54), (217-54), (218-55), (219-55), (220-55), (221-55), (222-56), (223-56), (224-56), (225-56), (226-57), (227-57), (228-57), (229-57), (230-58), (231-58), (232-58), (233-58), (234-59), (235-59), (236-59), (237-59), (238-60), (239-60), (240-60), (241-60), (242-61), (243-61), (244-61), (245-61), (246-62), (247-62), (248-62), (249-62), (250-63), (251-63), (252-63), (253-63), (254-64), (255-64), (256-64), (257-64), (258-65), (259-65), (260-65), (261-65), (262-66), (263-66), (264-66), (265-66), (266-67), (267-67), (268-67), (269-67), (270-68), (271-68), (272-68), (273-68), (274-69), (275-69), (276-69), (277-69), (278-70), (279-70), (280-70), (281-70), (282-71), (283-71), (284-71), (285-71), (286-72), (287-72), (288-72), (289-72), (290-73), (291-73), (292-73), (293-73), (294-74), (295-74), (296-74), (297-74), (298-75), (299-75), (300-75), (301-75), (302-76), (303-76), (304-76), (305-76), (306-77), (307-77), (308-77), (309-77), (310-78), (311-78), (312-78), (313-78), (314-79), (315-79), (316-79), (317-79), (318-80), (319-80), (320-80), (321-80), (322-81), (323-81), (324-81), (325-81), (326-82), (327-82), (328-82), (329-82), (330-83), (331-83), (332-83), (333-83), (334-84), (335-84), (336-84), (337-84), (338-85), (339-85), (340-85), (341-85)]
--	--

### Таблица висячих вершин

[(86-22), (87-22), (88-22), (89-22), (90-23), (91-23), (92-23), (93-23), (94-24), (95-24), (96-24), (97-24), (98-25), (99-25), (100-25), (101-25), (102-26), (103-26), (104-26), (105-26), (106-27), (107-27), (108-27), (109-27), (110-28), (111-28), (112-28), (113-28), (114-29), (115-29), (116-29), (117-29), (118-30), (119-30), (120-30), (121-30), (122-31), (123-31), (124-31), (125-31), (126-32), (127-32), (128-32), (129-32), (130-33), (131-33), (132-33), (133-33), (134-34), (135-34), (136-34), (137-34), (138-35), (139-35), (140-35), (141-35), (142-36), (143-36), (144-36), (145-36), (146-37), (147-37), (148-37), (149-37), (150-38), (151-38), (152-38), (153-38), (154-39), (155-39), (156-39), (157-39), (158-40), (159-40), (160-40), (161-40), (162-41), (163-41), (164-41), (165-41), (166-42), (167-42), (168-42), (169-42), (170-43), (171-43), (172-43), (173-43), (174-44), (175-44), (176-44), (177-44), (178-45), (179-45), (180-45), (181-45), (182-46), (183-46), (184-46), (185-46), (186-47), (187-47), (188-47), (189-47), (190-48), (191-48), (192-48), (193-48), (194-49), (195-49), (196-49), (197-49), (198-50), (199-50), (200-50), (201-50), (202-51), (203-51), (204-51), (205-51), (206-52), (207-52), (208-52), (209-52), (210-53), (211-53), (212-53), (213-53), (214-54), (215-54), (216-54), (217-54), (218-55), (219-55), (220-55), (221-55), (222-56), (223-56), (224-56), (225-56), (226-57), (227-57), (228-57), (229-57), (230-58), (231-58), (232-58), (233-58), (234-59), (235-59), (236-59), (237-59), (238-60), (239-60), (240-60), (241-60), (242-61), (243-61), (244-61), (245-61), (246-62), (247-62), (248-62), (249-62), (250-63), (251-63), (252-63), (253-63), (254-64), (255-64), (256-64), (257-64), (258-65), (259-65), (260-65), (261-65), (262-66), (263-66), (264-66), (265-66), (266-67), (267-67), (268-67), (269-67), (270-68), (271-68), (272-68), (273-68), (274-69), (275-69), (276-69), (277-69), (278-70), (279-70), (280-70), (281-70), (282-71), (283-71), (284-71), (285-71), (286-72), (287-72), (288-72), (289-72), (290-73), (291-73), (292-73), (293-73), (294-74), (295-74), (296-74), (297-74), (298-75), (299-75), (300-75), (301-75), (302-76), (303-76), (304-76), (305-76), (306-
--

77), (307-77), (308-77), (309-77), (310-78), (311-78), (312-78), (313-78), (314-79), (315-79), (316-79), (317-79), (318-80), (319-80), (320-80), (321-80), (322-81), (323-81), (324-81), (325-81), (326-82), (327-82), (328-82), (329-82), (330-83), (331-83), (332-83), (333-83), (334-84), (335-84), (336-84), (337-84), (338-85), (339-85), (340-85), (341-85)]

**Вывод:** Практическое значение  $\alpha=1,33$  совпало с теоретическим значением  $\alpha=1,33$ .

**Утверждение.** Если значение  $\alpha$  случайного дерева в программе меньше чем 1,3, то в программе есть ошибка.

```
if (alpha <= 1,33) System.out.println("Ошибка");
```

**Работа 4.** Подсчитать среднее число висячих вершин у совокупности R случайных графов ПО, определить среднее значение и дисперсию структурного параметра  $\alpha$  = отношению общего числа вершин к числу висячих вершин.

R=100, N=200, m=5

№	Уровни	Всего вершин	Висячие вершины	$\alpha$
1	8	302	189	1.6
2	7	366	223	1.64
3	8	262	159	1.65
4	8	389	237	1.64
5	7	216	131	1.65
6	9	369	224	1.65
7	8	237	141	1.68
8	8	239	142	1.68
9	8	321	188	1.71
10	7	320	193	1.66
11	7	313	191	1.64
12	9	239	143	1.67



13	8	293	179	1.64
14	8	351	205	1.71
15	14	227	135	1.68
16	10	323	199	1.62
17	7	294	177	1.66
18	7	267	159	1.68
19	7	302	189	1.6
20	9	405	246	1.65
21	8	352	219	1.61
22	8	215	126	1.71
23	7	265	154	1.72
24	7	346	214	1.62
25	8	282	163	1.73
26	10	233	141	1.65
27	10	366	216	1.69
28	8	230	139	1.65
29	10	249	156	1.6
30	10	234	144	1.63
31	9	224	142	1.58
32	6	271	171	1.58
33	9	293	173	1.69
34	7	251	149	1.68
35	8	331	200	1.66
36	7	214	126	1.7
37	6	219	134	1.63

38	8	220	139	1.58
39	10	247	145	1.7
40	8	382	228	1.68
41	8	300	182	1.65
42	9	209	128	1.63
43	7	339	204	1.66
44	8	256	156	1.64
45	7	304	184	1.65
46	8	281	160	1.76
47	8	226	144	1.57
48	8	385	234	1.65
49	8	312	189	1.65
50	7	286	173	1.65
51	8	334	199	1.68
52	9	321	189	1.7
53	7	238	135	1.76
54	10	284	171	1.66
55	8	230	139	1.65
56	7	334	205	1.63
57	8	269	167	1.61
58	7	210	130	1.62
59	7	240	150	1.6
60	9	384	235	1.63
61	7	385	237	1.62
62	8	209	124	1.69

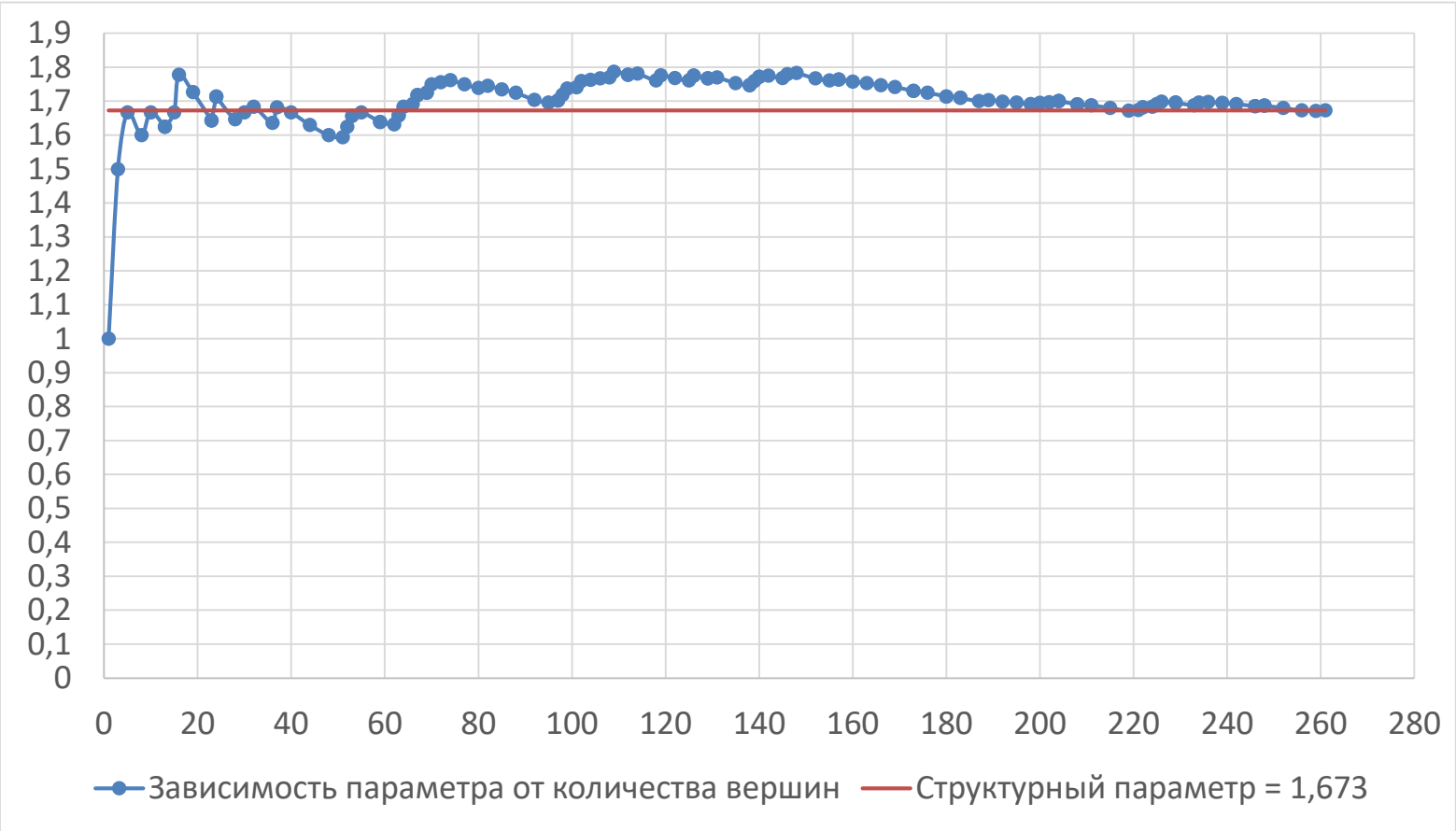
63	9	303	182	1.66
64	9	277	165	1.68
65	7	388	236	1.64
66	10	306	187	1.64
67	8	337	200	1.69
68	7	242	145	1.67
69	8	348	215	1.62
70	10	244	144	1.69
71	8	238	141	1.69
72	8	218	133	1.64
73	7	208	131	1.59
74	9	428	262	1.63
75	10	240	133	1.8
76	8	239	136	1.76
77	7	266	161	1.65
78	7	234	140	1.67
79	8	255	146	1.75
80	8	271	155	1.75
81	8	380	234	1.62
82	8	297	174	1.71
83	10	365	220	1.66
84	9	236	141	1.67
85	7	210	127	1.65
86	7	208	128	1.63
87	7	270	165	1.64

88	7	238	151	1.58
89	8	311	177	1.76
90	11	321	200	1.61
91	7	268	164	1.63
92	7	212	134	1.58
93	8	258	158	1.63
94	7	372	216	1.72
95	7	375	223	1.68
96	8	229	132	1.73
97	8	344	206	1.67
98	7	206	122	1.69
99	7	234	132	1.77
100	7	370	225	1.64

$M[\alpha] = 1.660619$  ,  $D[\alpha] = 0.002240$

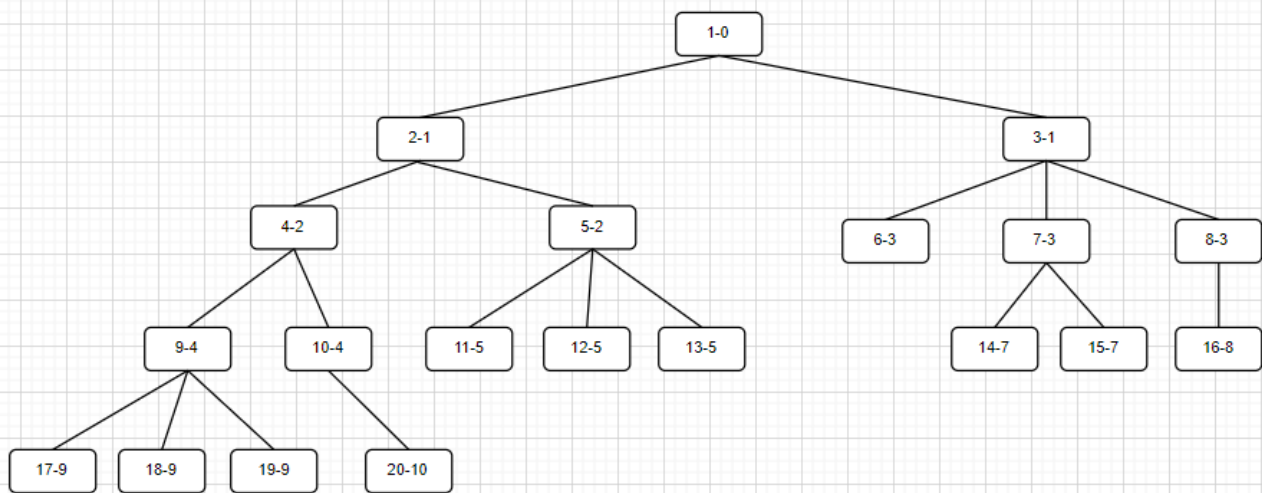
**Работа 5.** Исследовать сходимость значения структурного параметра  $\alpha$  к устойчивому значению с ростом числа узлов графа  $P$ , построив для этого функцию изменения структурного параметра  $\alpha$  с ростом числа узлов  $P$ . Для данного графа построить графический фрагмент из первых двадцати узлов.

**График зависимости структурного параметра  $\alpha$  от числа вершин**



**Графическое представление первых 20 вершин графа**

1 уровень	[(1, 0)]
2 уровень	[(2,1),(3,1)]
3 уровень	[(4-2), (5-2), (6-3), (7-3), (8-3)]
4 уровень	[(9-4), (10-4), (11-5), (12-5), (13-5), (14-7), (15-7), (16-8)]
5 уровень	[(17-9), (18-9), (19-9), (20-10),...]



## Листинг программы

```

package TreeStructure;

import java.io.File;
import java.io.FileWriter;
import java.io.IOException;
import java.util.*;

/**
 * Вариант #5
 * m = 5 - возможное количество потомков у узла
 * N = 200 - общее количество узлов
 * R = 100 - количество графов для построения
 * Правило остановки Б) - число узлов >= заданному числу N && последний уровень
иерархии графа должен быть до конца
 * заполнен висячими узлами
 */

class Tree {

    private TreeNode root;
    public int[] gI = {0,0,0,0,0};
    private int vertexCnt;
    private LinkedList<TreeNode> terminalVertexes = new LinkedList<>();
    private HashMap<Integer, LinkedList<TreeNode>> hierarchy = new HashMap<>();
    private final Random generator = new Random();

    public TreeNode getRoot() {
        return root;
    }

    public int getVertexCnt() {
        return vertexCnt;
    }

    public HashMap<Integer, LinkedList<TreeNode>> getHierarchy(){
        return hierarchy;
    }
}

```

```

public LinkedList<TreeNode> getTerminalVertexes() {
    return terminalVertexes;
}

private TreeNode rootInitialize(int maxChildCnt, boolean isRandom) {
    LinkedList<TreeNode> rootLevel = new LinkedList<>();
    TreeNode root = new TreeNode(1, 0, 1);
    int childCnt = 0;
    rootLevel.add(root);
    hierarchy.put(1, rootLevel);
    if(isRandom) {
        while (childCnt == 0) {
            childCnt = generator.nextInt(maxChildCnt);
            gI[childCnt]++;
        }
    } else childCnt = maxChildCnt;
    root.childList = new LinkedList<>();
    for (int i = 2; i <= childCnt + 1; i++) {
        root.childList.add(new TreeNode(i, 1, 2));
    }
    hierarchy.put(2, root.childList);
    return root;
}

Tree(int maxVertexCnt, int maxChildCnt, boolean isRandom) {
    File file = new File("graphics.txt");
    try (FileWriter writer = new FileWriter(file)) {
        this.root = rootInitialize(maxChildCnt, isRandom);
        Deque<TreeNode> nodeQueue = new LinkedList<>();
        int curNodeIndex = this.root.childList.size() + 1;
        int extremeHierarchyLevel = 0;
        boolean isFirstOverFlowed = false;
        int parentIndex = root.index;
        for (TreeNode childNode : root.childList) {
            if (childNode != null) {
                nodeQueue.addLast(childNode);
            }
        }
        int index = 1;
        while (!nodeQueue.isEmpty()) {
            writer.write(Integer.toString(index));
            writer.write("\t");
            writer.write(Integer.toString(curNodeIndex));
            writer.write("\t");

            writer.write(Double.toString(Math.round(((double)curNodeIndex/((double)nodeQueue.size() +
terminalVertexes.size() ) * 1000.0) / 1000.0)));
            writer.write("\n");
            index++;
            TreeNode processedNode = nodeQueue.removeFirst();
            int childCnt;
            if (isRandom) {
                childCnt = generator.nextInt(maxChildCnt);
                gI[childCnt]++;
            } else childCnt = maxChildCnt;

```

```

        if (childCnt == 0) {
            terminalVertexes.add(processedNode);
            parentIndex++;
            continue;
        }
        if (curNodeIndex + 1 > maxVertexCnt && processedNode.hierarchyLevel !=
extremeHierarchyLevel) {
            terminalVertexes.add(processedNode);
            for (TreeNode node : nodeQueue) {
                terminalVertexes.add(node);
            }
            break;
        }
        processedNode.childList = new LinkedList<>();
        parentIndex++;
        for (int i = 0; i < childCnt; i++) {
            curNodeIndex++;
            int childHierarchyLevel = processedNode.hierarchyLevel + 1;
            TreeNode childNode = new TreeNode(curNodeIndex, parentIndex,
childHierarchyLevel);
            if (!hierarchy.containsKey(childHierarchyLevel)) {
                hierarchy.put(childHierarchyLevel, new LinkedList<TreeNode>());
            }
            hierarchy.get(childHierarchyLevel).add(childNode);
            processedNode.childList.add(childNode);
        }
        if (curNodeIndex >= maxVertexCnt && !isFirstOverFlowed) {
            extremeHierarchyLevel = processedNode.hierarchyLevel;
            isFirstOverFlowed = true;
        }
        for (TreeNode childNode : processedNode.childList) nodeQueue.addLast(childNode);
    }
    this.vertexCnt = curNodeIndex;
} catch (IOException e) {
    e.printStackTrace();
}
}

static class TreeNode {
    LinkedList<TreeNode> childList;
    int index;
    int parentIndex;
    int hierarchyLevel;

    TreeNode(int index, int parentIndex, int hierarchyLevel) {
        this.index = index;
        this.parentIndex = parentIndex;
        this.hierarchyLevel = hierarchyLevel;
    }

    @Override
    public String toString() {
        return "(" + index + "-" + parentIndex /*+ "-" + (childList != null ? childList.size() : 0)*/ +
        ")";
    }
}
}

```



```

public String noChild(){
    Deque<TreeNode> nodeQueue = new LinkedList<>();
    nodeQueue.addLast(root);
    StringBuilder builder = new StringBuilder();
    builder.append("[");
    while (!nodeQueue.isEmpty()) {
        TreeNode processedNode = nodeQueue.removeFirst();
        if((processedNode.childList != null ? processedNode.childList.size() : 0) == 0) {
            builder.append(processedNode.index);
            builder.append(", ");
        }
        if (processedNode.childList == null) continue;
        for (TreeNode childNode : processedNode.childList) nodeQueue.addLast(childNode);
    }
    builder.append("]");
    return builder.toString();
}

public double getAlphaValue(){
    return (double) vertexCnt / (double) terminalVertexes.size();
}

@Override
public String toString() {
    StringBuilder builder = new StringBuilder();
    for (int i = 1; i <= hierarchy.size(); i++) {
        builder.append(hierarchy.get(i).toString());
        builder.append("\n");
    }
    return builder.toString();
}
}

```